

## 論 文

# 한글 Shape 문자 Pattern에서의 구조적 정보를 이용한 형식분류와 인식에 관한 연구

正會員 田鍾益\* 正會員 趙鎔周\*\* 正會員 南宮在贊\*\*

## A Study on Type Classification and Recognition Using Structural Information in Character Pattern of HANGEUL Shape

Jong Ik CHEON\*, Yong Joo CHO\*\*, Jae Chan NAMKUNG\*\* *Regular Members*

**要 約** 본 논문은 한글 문자 패턴을 인식하기 위하여 패이트 패턴을 대상으로 한글의 구조적 정보를 이용한 새로운 인식 방법에 대해서 연구하였다.

먼저, 입력된 데이터에 대하여 문자의 위치를 알기 위하여 문자 영역의 분리화를 행하였고, 둘째로, 한글의 무게 중심을 이용한 종모음의 유무를 결정하고, 철모음과 짧은 기둥의 위치와 길이 조사 및 종성의 존재 여부를 조사하여 한글이 가지는 6 가지의 기본 구조로 형식 분류를 하였으며, 마지막으로 분류된 형식에 따라 각각의 자소에 대해 유크리드 거리(Uchid's distance)에 의한 템플릿 매칭(template matching)을 실행하여 인식을 행하였다.

본 연구는 실험을 통하여 총 2350자이 문자에 대하여 98.3%의 인식 분류율과 95.2%의 한글 인식율을 얻었다.

**ABSTRACT** In this paper, we studied on new method of recognition using structural information to recognize character pattern in original shape of Hangeul.

First, for the purpose of knowing location of character in input image, it processed Making block. Second, after we investigated, whether vertical vowel existed or not in character image accordingly the center of gravity of Hangeul, each character was classified into 6 Type of Hangeul by searching location and length for horizontal vowel and short pole.

Last, we processed it by means of template matching which calculate Uchid's distance on each Jaso in accordance to type classified.

This paper made an experiment on 2350 characters and obtained 98.3% classifying rate and 95.2% recognizing rate.

### I. 서 론

최근 정보 처리 환경은 사무 자동화와 사용자 인터페이스의 급격한 요구로 현대의 정보 사회는 많은 분야에서 다양한 연구를 행하고 있다. 패턴 인식 분야는 문자 인식, 음성 인식 등 다양한 분야에서 많은 연구가 행해지고 있으나, 특히 패턴인식에 관한 연구 분야 중에서 문자 인식 분야는 그 나라의 사회와 문화를 고려하여 많은 연구를 해오고 있다.

본 논문은 우리 고유의 한글 문자 패턴을 인식하기 위한 연구로써 기존의 방법과는 달리, 쉐이프(shape) 자체를 대상으로 한글 고유의 6 가지 형식을 자동 분류하고, 분류된 형식 문자에 대해 정확한 인식 방법을 구현하는데 목적을 둔다.

한글 인식에 관한 연구는 1960년대를 시작로 하여 현재까지 꾸준히 연구된 분야 중의 하나이다. 한글은 한글 문자 패턴이 가지는 고유의 조합 규칙을 고려한 실용적인 문자로서 6 가지 형식을 가지고 있다.

한글의 인식 방법은 크게 두 가지 분류로 연구되어 왔다.

첫 번째는 형식 분류를 한 후 각 자소에 대한 인식을 하는 것이고, 두 번째로 한 문자에 대해

\* (株)韓國通信

Korea Telecom

\*\* 光武大學校 電子計算學科

Dept. of Computer Science, Kwangwoon University.

論文番號 : 91-17 (接受 1990. 11. 23)

곧 바로 인식하는 방법이 있는데, 본 연구에서는 첫 번째 방법을 사용하였다.

보통 문자 인식에 있어서 접근 방식으로는 결정론적 방법, 구문론적 방법, 구조적 방법 등이 있다.

결정론적 방법(decision theoretical method)은 문자 패턴을 어떤 특징량 또는 벡터량으로 변환한 후 특정 공간으로 나누어 벡터 정보의 거리값에 의해서 인식을 하는 방법으로 보통 자종이 많은 필기체 문자 인식에서 많이 사용된다. 다음으로 구문론적 방법(syntactic method)은 인식하고자 하는 문자 패턴에서 문자의 특징 점과 스트로크(stroke) 등을 프리미티브(primitive)로 변환한 후 여러가지의 문법(Grammar)을 이용하는 방법으로서 회성분의 구분이 명확한 문자 인식 등에서 많이 사용된다. 마지막으로 구조적인 방법(structural method)은 문자의 구조적 정보를 이용하여 인식하는 방법으로서 현재의 문자 인식 방법에 많이 사용될 뿐만 아니라 다양한 패턴 정보의 인식에서도 많이 사용되는 방법이다. 본 연구에서는 구조적인 방법을 이용하여 한글 문자 패턴을 인식하였다.

## II. 한글의 구조분석 및 전처리

## 2.1 한글의 구조 분석 및 특성

문자 인식 시스템을 설계하기 위해서는 각 문자의 구조적 특성을 분석하고 각각의 특징에 따라 각 문자의 인식 시스템을 설계해야 한다. 따라서 본 장에서는 먼저 한글의 용어에 대해서 알아본 다음, 한글의 기본적 구조를 분석하고 구조적 특성에 대해 알아본다.

### 2.1.1 한글의 기본 줄기와 용어

문자의 구조에 있어서 글자꼴을 이루고 있는  
가장 기본이 되는 줄기(stroke)를 기본 줄기  
라 말하고, 이러한 기본 줄기들이 여러 형태로  
놓임에 따라 하나의 낱글자가 구성된다. 인식에  
인여서는 글자의 폰트가 어떤 형태인가, 줄 서체가

어느 것인가가 매우 중요하다.

본 연구에서는 현존하는 글자체중 가장 많이 이용되고 있는 평조체 글자체를 대상으로 하였고, 1979년 한글 시작 글씨 연구 단체인 글꼴 모임<sup>89)</sup>에서 정의한 기본 줄기 용어를 사용하였다. 그림 1은 글꼴 모임에서 정의한 기본 줄기와 용어를 보였다.



그림 1. 한글의 기본 음자와 음이  
Fig. 1. Primary stem and vocabulary of Hangeul

### 2.1.2 한글의 구조 분석

한글의 자소들이 모여 구성된 조합 문자로서  
기본 자모(단자음 14자, 뒤모음 10자)가 혼합되어  
조성, 중성, 중성을 구성한다. 한글의 구성  
을 살펴보자.

한글의 6가지 형식은 이주근<sup>10)</sup>이 제안한 정의로서, 초성, 중성, 종성의 배치에 따라 6가지 형식으로 구분이 되어져 있다. 본 연구에서는 6형식 정의를 도입하여 인식에 이용하였다. 한글은 한자와 같이 조합문자 이지만, 한자의 무게 중심이 사각형 내에 끌고루 분포되어 있는것과는 달리 한글의 무게 중심은 모음, 즉 종모음과 횡모음에 분포되어 있는것이 특징이다. 그림 2에서는 한글의 6형식 구조를 나타내고 있다.

표 1. 한글의 구성 요소  
Table 1. The constructural element of Hangeul

본 연구에서 실험 대상으로 삼은 문자는 삼보  
레이저 빔 프린터(LBP) 폰트( font )이  
며, KS C5601 표준에서 정의한 2350자를 대상으  
로 본 연구의 실험을 하았다. 위의 2350자를  
그림 2에 따라 형식별로 분류한 예를 표 2에  
보인다. 표 2에서 알 수 있듯이 2형식인 가로모  
임 받침글자가 거의 50%에 가까운 정도로 많이  
쓰이고 3형식인 세로모임 글자는 88자에 지나지  
않음을 알 수 있다.

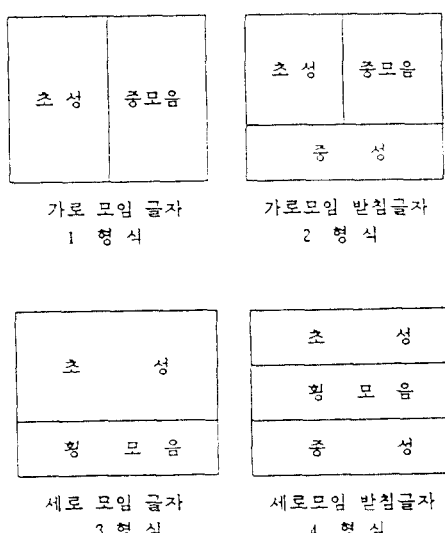


표 2. KS C5601의 형상별 분포  
Table 2. Distribution for each type in KS C5601

형상	1	2	3	4	5	6	7
체중	150	1083	88	577	105	347	2350

213 하글의 구조적 특성

한글은 6 형식에 따라 자음과 모음의 위치가 정해진 글자이며, 매우 과학적인 문자이나 구조적으로 유사성이 매우 높아 원칙을 아는 대로 어려움이 많다.

본 연구에서는 문자를 인식하기 위해 구조적인 방법을 이용한다. 위에서 언급 되었지만 한글은 모음·중심·문자·수·종모음과 횡모음의 형태에 따라 글자들의 형태가 민감하게 변하기 때문에, 본 연구에서는 흐트러진 이미지 6가지 특징을 이용하

표 3. 한글의 특징  
Table 3. Characteristics of Hangeul

특징	
1	한글에서 각 자소를 중 수평 방향으로 회 모음이 사용 같다.
2	3,4,5,6 형식 중 횡 모음이 수평 방향으로 가장 앞쪽에 온다.
3	한글에서 각 자소를 중 수직 방향으로 종 모음이 사용 같다.
4	1,2,5,6 형식중 종 모음이 가장 뒷 쪽에서 시작한다.
5	한글의 종성은 횡 모음 보다 앞에 오지 않는다.
6	한글의 자운은 대부분 직선 성분이 있다.(예외, ㅇ, ㅅ)
7	종모음을 위치 변화가 적지만 종성에 따라 초기변화가 있다.
8	횡모음을 위치 변화는 크지만 종성에 따른 초기변화가 없다.

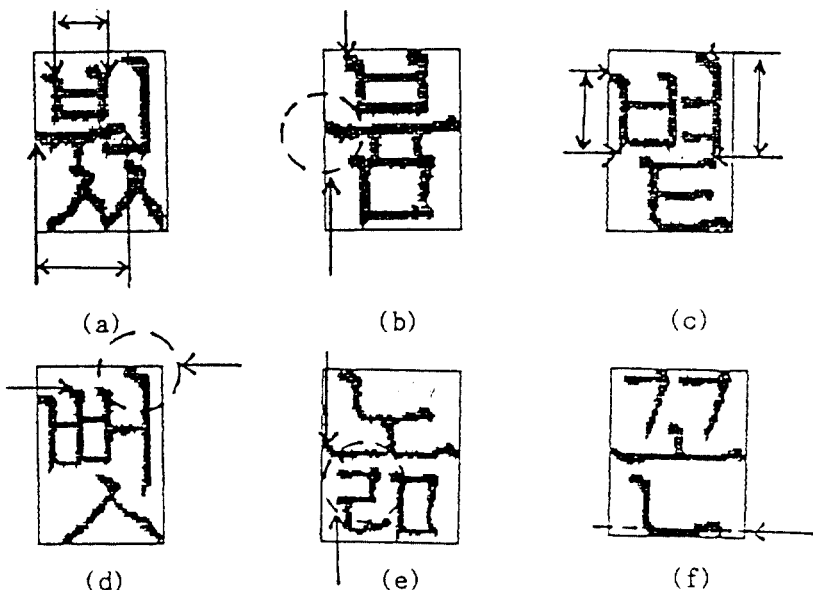


그림 3. 한글의 구조 특징 예  
Fig. 3. Example of Hangeul structure characteristics

여 인식을 용이하게 하였다. 그림 3은 한글의 특징에 의한 예이다.

#### 2.1.4 한글 모음의 결합 특성

한글의 모음은 크게 횡모음과 종모음으로 나눌 수 있는데, 이들은 기둥, 걸줄기, 보 그리고 짧은 기둥으로 구성되어 있으며, 이것은 걸줄기와 짧은 기둥에 따라 모음의 성분들이 결합된다.

##### 가. 종모음의 결합

- 수직 성분(기둥) : 1 혹은 2개
- 수평 성분(걸줄기) : 2개 이하
- 횡모음 존재 시 : 수평 성분(걸줄기)은 1개 이하

##### 나. 횡모음의 결합

- 수평 성분(보) : 1개
- 수직 성분(짧은 기둥) : 2개 이하

- 중모음 주재자
  - : 주자(정분( 않은 기능))은 1개 이하
  - : “고” 주재자 “ㅏ” 혹은 “ㅣ”의 결합된 형태가 온다.
  - : “ㅜ” 주재자 “ㅓ” 혹은 “ㅣ”의 결합된 형태가 온다.
- 그림 4에 예를 보았다.

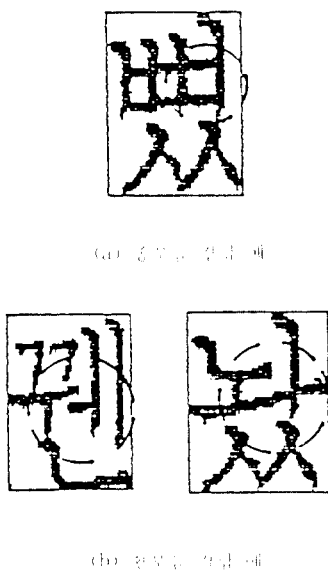


그림 4. 모음 주재자 예  
Fig. 4. Cohesion of vowel

## 2.2 전처리

전처리 단계는 입력된 문자 영상을 문자 단위의 영상으로 분리하는 단계로서 한 문자의 인식하기 위하여 분리하는 단계이다.

전처리에는 양자화, 영원화, 푸리에, 정규화 등 여러 가지가 있으나 본 연구에서는 인쇄체 문자의 shape를 대상으로 입력식 세팅을 두 가지로 분류하였다. 아래와 같이 각각 3가지 형태로 변화된다.

### 2.2.1 양자화

문자 모양이나 노이즈의 화상을 image scanner를 통하여 입력할 때, 주로 3차 이상의 높은 화질으로 변화된다. 아래와 같이 정보를 2차 정보로

변환하는 처리를 양자화라고 한다. 이러한 처리는 개별값(threshold)에 의하여 행해진다.

$$g_{ij} = \begin{cases} f_{ij} & f_{ij} \geq T \\ f_{ij} : \text{암적 값}(0,1,\cdots 255) \\ g_{ij} & g_{ij} : \text{백적 값}(0,1) \\ f_{ij} - T & f_{ij} < T \end{cases}$$

$f_{ij}$  : 개별 값 (Threshold value)

본 연구에서는 문자입력 장치인 image scanner에서 가장 일반화된 태이터를 사용하였다. 그림 5는 이미지 스캐너에서 입력한 양자화된 데이터가  $640 \times 400$ 의 모니터 화면에 출력한 예이다.

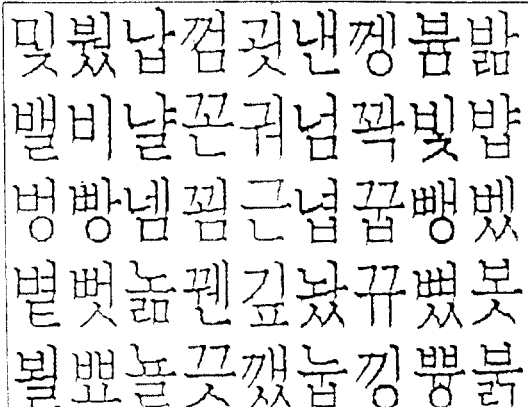
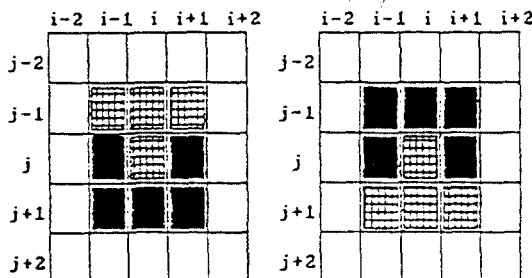


그림 5. 디지털화된 데이터 예  
Fig. 5. Example of digitized data

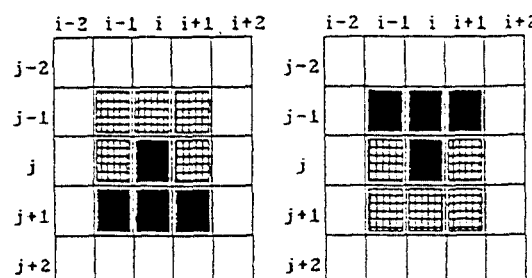
### 2.2.2 평활화

2차원 데이터 영상에 있어서 문자 인식에 바람직하지 않은 점들을 제거하기 위하여 영원화 처리를 한다. 본 연구에서는 고립점을 제거하기 위하여 5x5의 마스크(그림 6(c))를 사용하였으며 영원화 처리를 위한 마스크는 그림 2(a), 그리고 2(b)의 x축과 y축에 대해 실행하였다. 고립점 제거 마스크에 대한 umfill 조건을 반복하는 경우 don't care 영역을 중 1인 화소들을(최대 9개) 제거하고, 영원화 마스크에서는 마스크의 조건이 모두 만족될 때  $g(i,j)$ 의 화소가 보강되거나(그림

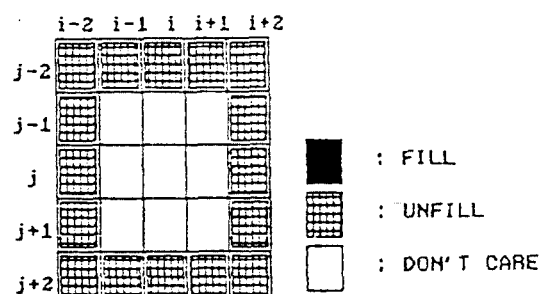
6(a) 제거된다(그림 6(b)).



(a) 제거



(b) 제거



(c) 교집합 제거

그림 6. 진자리 마스크  
Fig. 6. Masks of Preprocessing

### 2.2.3 블럭화

문서를 이루는 다양한 구성 요소로는 영상 (Image), 문자(Text) 그리고 그래픽(Graphic)

으로 구성된다. 본 연구에서는 이러한 영역중 문자 부분에 대하여 각각의 문자 위치를 알기 위하여 문자 영역에 대해 블럭화를 행하였다. 블럭화의 알고리즘은 오인정의 Down up 알고리즘을<sup>16</sup> 개선하여 사용하였다. 그림 7은 블럭화된 데이터의 예이다.



그림 7. 블럭화된 데이터  
Fig. 7. Data of Making block

### III. 한글의 형식 분류

한글의 인식 방법에 있어서 문자에 대한 인식 방법과 한 문자를 자소별로 분리하여 각각의 자소에 대해 인식하는 방법이 있다.

본 연구에서는 자소별로 인식하기 위해 먼저 형식을 결정하는데 한글을 모음을 중심으로 중심과 함께 6가지 형식으로 분류할 수 있다.

본 장에서는 이에 차안하여 횡모음과 종모음을 추출한 다음, 세2장의 모음 결합 특성에 의하여 길줄기와 짧은 기둥을, 다음에 종성을 조사함으로서, 인식을 위한 소분류를 하는 모음·작성 방법과 이에 따른 6형식 식별 알고리즘을 제안한다.

#### 3.1 모음 판정 방법

모음의 주체 여부를 알아내기 위해서 먼저

횡모음의 보와 종모음의 기능을 찾았으나, 이 때 짧은 기동과 겹줄기를 조사하여 모음에 대한 소분류를 행하였다.

먼저, 보와 기동의 존재 여부를 알아내기 위하여  $2 \times 3$ 의 마스크를 사용하였으나, 글자를 조사함으로서 사실이 주출되지 않도록 하였으며, 사실이 아닌 직선 성분을 가진 자음이 주출되지 않도록 하기 위하여 단성을 조사하였다.

### 3.1.1 $2 \times 3$ 마스크

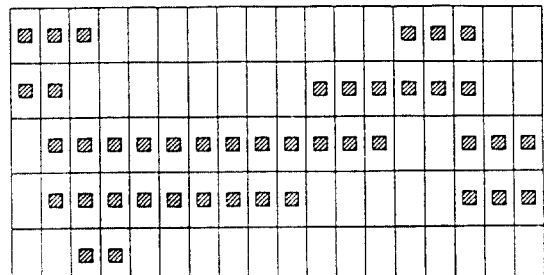
횡모음과 종모음이 존재하는지를 알기 위하여

	$i-1$	$i$	$i+1$
$j$	$P(i, j)$	④	
$j+1$	④	①	②

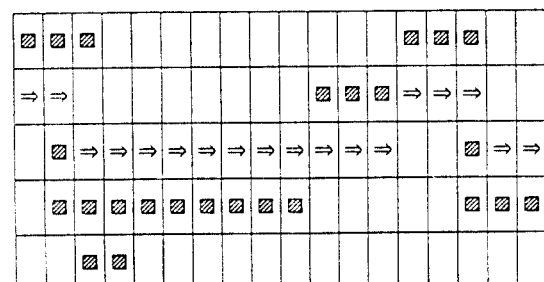
(a) 종모음 주출 시

	$i$	$i+1$
$j-1$		③
$j$	$P(i, j)$	①
$j+1$	④	②

(b) 횡모음 주출 시



(a) 원본



(b) 원본

(c) 마스크  $i$ 의 진행 과정그림 8.  $2 \times 3$  마스크의 진행 예Fig. 8. Example of  $2 \times 3$  mask and processing mask

보와 기능을 찾기 위하여 우선 순위에 따라  $2 \times 3$  마스크의 8방향 중 내개의 방향으로만 진행에 나옵니다.

그림 8에는  $2 \times 3$  마스크를 정의 하였는데, 그림 8(a)는 종모음을 주출  $2 \times 3$  마스크와 우선 순위를 보였고, 그림 8(b)는 횡모음을 주출  $2 \times 3$  마스크와 우선 순위를 나타내었다. 그림 8(c)에서는  $2 \times 3$  마스크를 이용하여 횡모음을 찾아가는 예로 진행 결과 진행 후를 보았다.

### 3.1.2 곡률 조사

횡모음 중 경사진 횡모음이 있는 것은 5,6 형식에서 대부분 나타난다. 3.1.1의  $2 \times 3$  마스크를 사용하여 진행해 보면 빗침(스, 스, 터븀), 굴곡 성분(○, □), 횡모음을 모두 횡모음의 보로 주출되어 진행이 계속되는데 빗침과 굴곡 성분이 횡모음으로 주출되지 않도록 하기 위해 (식 3-1)을

이용하여 주기적으로(5 pixel마다) 곡률을 계산한다. 그림 9에서 현재 진행 점을 c라 하고, a와 b점간의 사이 각을 이전 각,  $b(x_1, y_1)$ 와  $c(x_2, y_2)$ 사이 각을 현재 각이라 할 때, 이전 각과 현재 각의 차이 각이나 현재 각이 임계각(25도)보다 작으면 진행이 계속되어 보울 추출한다.

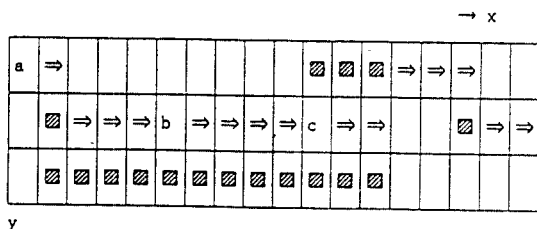


그림 9. b와 c사이의 곡률

Fig. 9. Curvature between b and c

$$\begin{aligned} L_0 &= x_2 - x_1, \quad L_2 = y_2 - y_1, \quad L_1 = (L_0^2 + L_2^2)^{1/2} \\ A &= 2\pi \tan^{-1} ((L-L_0) * (L-L_1) / (L * (L-L_2)))^{1/2} - (\text{식 } 3-1) \end{aligned}$$

단,  $L_0, L_1, L_2$ : 3점의 길이  
 $L = (L_0 + L_1 + L_2) / 2$   
 $A$ : 라디안(radian)

### 3.1.3. 단점 조사

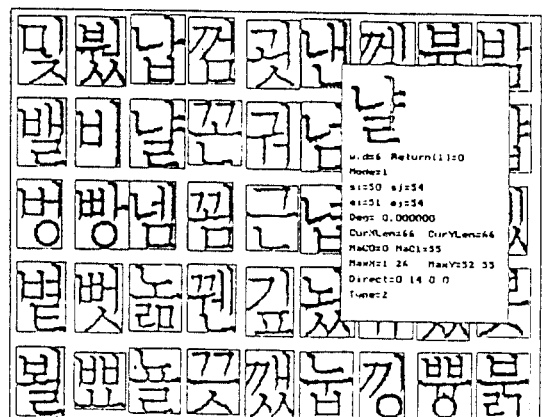
횡모음의 시작 부분은 단점이다.

단점을 조사하지 않았을 때 “ㄹ”, “ㅁ”, “ㅂ”과 같은 초성이 횡모음으로 추출되는데 이를 방지하기 위해서 횡모음의 보울 추출해 가면서 평균 문자두께(ChWd)  $\times 2$  (3.2 알고리즘 참조) 이상의 화소가 y축을 따라( $x / 5$ 구간 동안) 존재하지 않으면 단점이 존재하는 것으로 하였다. 그림 10에는 위의 특성에 의하여 추출된 종모음과 횡모음의 추출 예를 보았다.

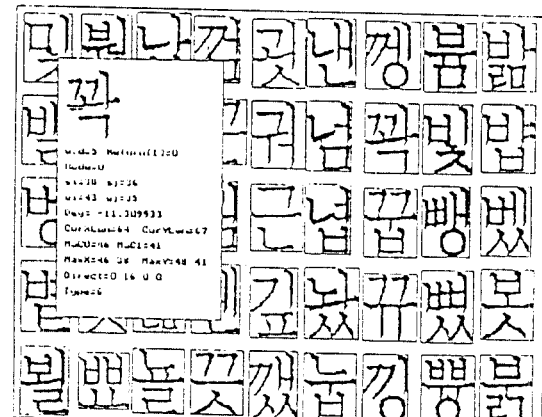
### 3.2. 형식 분류 알고리즘

한글은 모음을 중심으로 6가지의 형식을 가지고 있으므로, 본 연구에서는 모음을 중심으로 한글의 구조적 특성을 이용하여 형식을 분류하였다.

종모음은 위치 변화가 적으나 종성에 따른 변화가 크고, 횡모음은 위치변화는 많으나 종성에 따른 크기 변화가 없으므로 횡모음의 긴 보



(a) 종모음 추출



(b) 횡모음 추출

그림 10. 종모음과 횡모음의 추출 예

Fig. 10. Extraction of horizontal and vertical vowels

부터 조사했다.

자소들 중에서 긴 보가 있으며 3형식이나 4형식이고, 그렇지 않으면 1, 2, 5, 6형식이다. 그러나 긴 보로 추출되는 것 중에서, 긴 보는 짧은 보와 종모음의 걸 줄기가 붙어서(빈, 우등의 경우) 긴 보로 추출되는 경우가 있으므로 긴 기둥(MaxCnt| Y |)이 존재하면 5형식이나 6형식이고, 그렇지 않은 것은 3 혹은 4형식이며, 이들에 대하여 종성 성분을 조사하여 6형식과 4형식을 분류한다.

긴 기동이 있는 것은 1, 2, 5, 6형식이다. 긴 기동이 블럭의 y축 보다 작으면 2, 6형식이고, 그렇지 않으면 1, 5형식과 2, 6형식(긴 기동과 종성이 붙는 경우 - 격, 밤 등 종성이 “ㄱ”, “ㅁ”, “ㅂ”, “ㅋ”의 경우)이다. 이것을 대상으로 짧은 보(짧은 횡모음)가 존재하는지를 조사하여, 존재하면 5, 6 형식이고, 그렇지 않으면 1, 2형식이다. 이를 중에서 종성을 조사하여, 2형식과 6형식을 분류한다.

종성 성분을 조사하는 것은 긴 기동이 블럭의

y축 값이 보다 짧으면 종성이 있는 것으로 판단하며, 그렇지 않은 경우에는 특정 지역의 하변에 영속된 수성 성분이 있으면 종성이 있는 것으로 판단한다. 이와 같이 문자의 특성을 이용하여 6가지 형식으로 분류하였다. 표 4에 알고리즘을, 그림 11에 그에 따른 영역을 보았다. 그림 12에 한글 6형식을 분류하는 알고리즘 흐름도를 보았으며 이 알고리즘에 의해 분류된 결과는 그림 13에 보인다.

표 4. 알고리즘  
Table 4. Algorithm

번	내	주	영역
BLOCK[0]	블럭의 가장 왼쪽 좌표(x1)		
BLOCK[1]	블럭의 가장 오른쪽 좌표(y1)		
BLOCK[2]	블럭의 가장 오른쪽 좌표(x2)		
BLOCK[3]	블럭의 가장 아래쪽 좌표(y2)		
x : BLOCK[2] - BLOCK[0]+1 y:=BLOCK[3]-BLOCK[1]+1			
MaxC[0]	횡모음의 보는 주설한 값이		
MaxC[1]	종모음의 기동을 주설한 값이		
Stem[0]	“ㅏ”의 길줄기		
Stem[1]	“ㅓ”의 길줄기		
Stem[2]	“ㅗ”의 짧은 기동		
Stem[3]	“ㅜ”의 짧은 기동		
ChWd	첨부문자wd 예=(q : (q,a)) <sup>dim</sup>		
q : 음화소, 수			
a : 2×2 마스크에서 이용하는 모든 조합의 수			
MaxL[0]	보 주설자 y축 좌표값이 가장 큰 경우		
MaxL[1]	기동 주설자 x축 좌표값이 가장 큰 경우		
MinL[0]	보 주설자 y축 좌표값이 가장 큰 경우		
MinL[1]	기동 주설자 x축 좌표값이 가장 큰 경우		
PoleCo[0]~100]	보가 주설되는 y축 좌표		
PoleCo[1]~100]	기동이 주설되는 x축 좌표		
1 if(x축 속화소 라인=x) goto 2			
else goto 11			
2 (3, 4, 5, 6 형식의 경우)			
횡모음을 조사			
3 종모음을 조사			
4 Stem[2]와 Stem[3] 조사 (2,2,3 의 가)		(a),(b)	
5 if(Stem[2] !=0) Stem[1] 조사		(c)	
6 else if(Stem[3] !=0) Stem[0] 조사		(d)	
7 if(MaxL[1] = Y V C) type=3;			

```

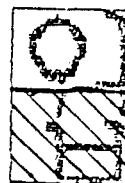
    else type=5;
8 if(type==5)
    if((c==MaxL[0]+Stem[3])>=MaxC[1])
        starty=MaxC[1];
    else starty=c;
else
    starty=MaxL[0]+ChWd;
9 if(종성(starty-v2_수집)존재?) type=type+1;
10 goto 11
11 (1,2,5,6형식의 경우)
    종모음 조사
12 획모음 조사
13 if(짧은 획모음을 존재?) type=5; Stem[2], Stem[3]: goto 15
    else type=1; goto 15
14 end
15 (중성 조사)
    Stem[0], Stem[1] 조사
16 if(type==5)
    if((c==MaxL[1]+Stem[3])>=MaxC[1])
        starty=MaxC[1];
    else starty=c;
else
    starty=y / 4*3;
17 if(종성(starty-v2_수집)존재?) type=type+1;
18 return;

```



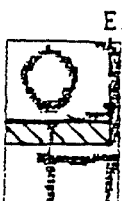
(a)

S1: 0  
E1: x  
S2: y/3  
E2: MaxL[0]-1



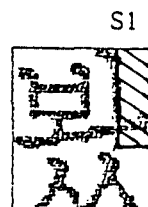
(b)

0  
x  
MaxL[0]+1  
y



(c)

0  
MaxL[1]-1  
MinL[0]+1  
MaxC[1]



(d)

MaxL[1]+1  
x  
MaxC[1]/5  
MaxC[1]

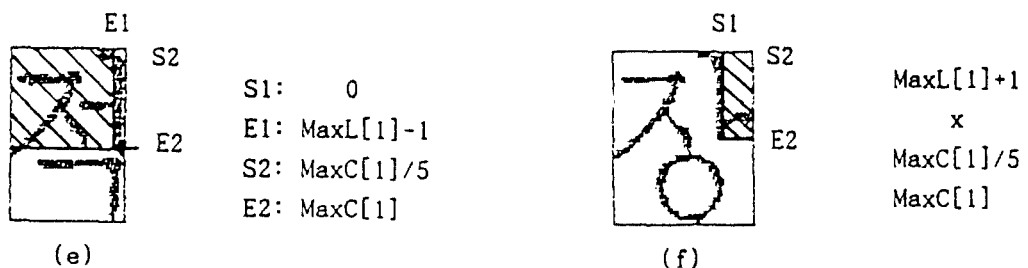


그림 11. 쪽茎과 짧은 기둥의 태깅 영역  
Fig. 11. Tracing Area of side stem and short pole

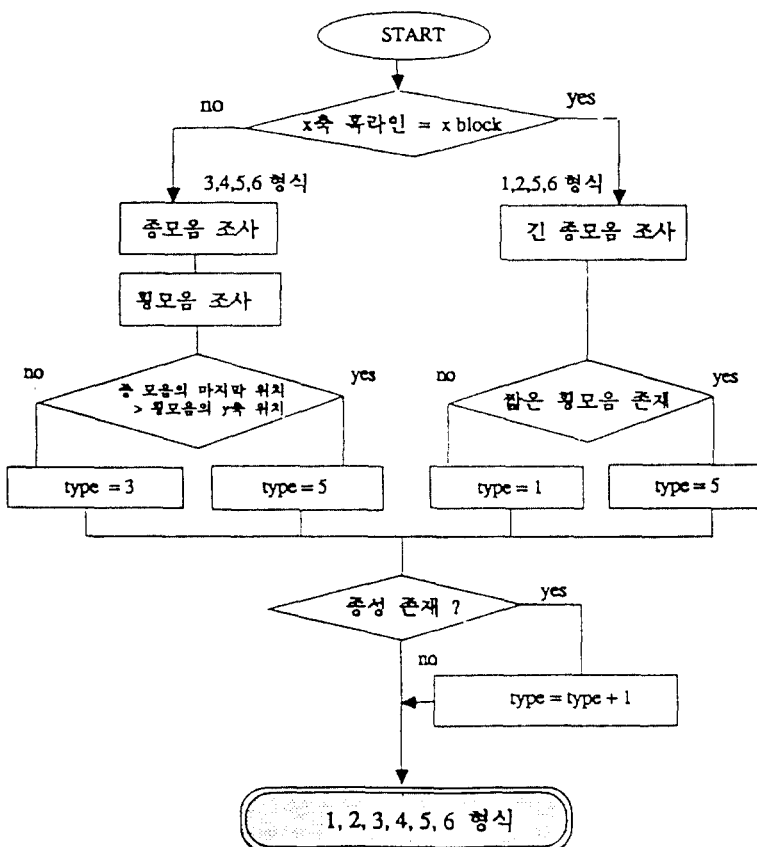


그림 12. 형식분류 알고리즘 흐름도  
Fig. 12. Flow Diagram of Classification algorithm of Type

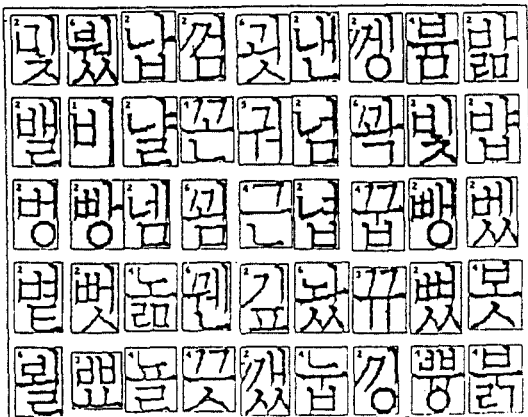


그림 13. 형식분류 결과  
Fig. 13. Result of type classification

#### IV. 인식 시스템

이 장에서는 6가지 형식으로 분류된 글자를  
초성, 횡모음, 종모음 그리고 종성 각각에 대해  
템플레이트 매칭 방법에 의하여 인식을 하였으며  
템플레이트 매칭 시 한글의 유사성 때문에 자소는  
의 투성에 따라 우선 순위를 주었다.

#### 4.1. 사전 작성

템플레이트 매칭에 필요한 사전은 각 형식별로 조성, 횡모음, 종모음 그리고 종성의 자소를 가지고 있다. 각 형식에 따른 자소들을 최대 3개씩 구성하였다. 템플레이트 매칭 시 한글 형태의 유사성으로 인해 다른 자소인데도 그 유사도가 같은 경우가 있으므로 사전에 표 6과 같은 우선 순위를 주어 복잡한 자소부터 매칭하여 유사도에 따른 오인식을 피할 수 있었다. 또한 위상적인 (topological) 성질로 인하여 1, 2형식에서 초성 “표”의 이음 줄기 부분이 횡모음의 보로 인식하는 것을 피할 수 없기 때문에, 본 연구에서는 5, 6 형식에 특별한 자소 “π”을 추가하는 방법을 제안한다. 형식별 사전 구성을 표 5에, 매칭의 우선 순위를 표 6에 보았다.

표 5. 형식별 사전의 자소 구성

Table 5. JASO composition of dictionary about each type

성적	1	2	3	4	5	6
자료수	48	71	36	40	65	61

### 표 6. 배정 우선 순위

Table 6. Priority of matching

皇 帝 金 列	
卷之三	明 命 五
卷之四	天 地 五
卷之五	人 宿 五
卷之六	地 宿 五
卷之七	人 地 五
卷之八	天 地 五
卷之九	人 天 五
卷之十	天 地 五

#### 4.2. 템플레이트 매칭

검출하고자 하는 패턴을 나타내는 부분 패턴을 대상 패턴의 시사 부분부터 이동해가면서 대상 패턴 가운데 있는 각 부분 패턴과의 유사도 (상관관계)를 조사하는 것인데 이 방법은 접두사와 접미사의 왜곡 희생 때문에 널리 쓰이지 않아

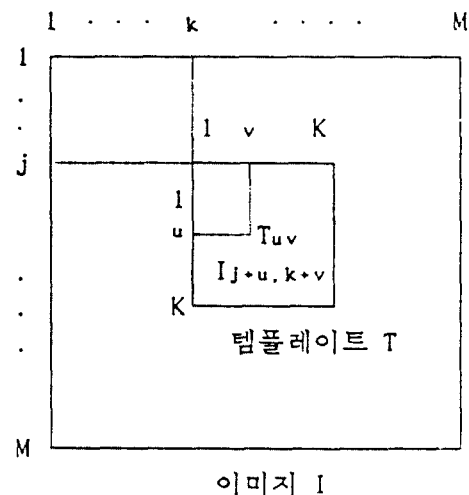


그림 14. 매칭 과정

같은 이미지를 기대할 수는 없으므로 이 종 유사도가 가장 큰 것을 검출한다.

이미지 T내에서 어느 한 부분을 다른 이미지(템플레이트) T와 비교하는 경우에 사용한다. 그림 14는 그 가리를 구하는 방법이다.

위 그림에서 템플레이트 T와 I(j, k)에서 이미지 해부 T와의 유사도는

$$\text{거리} = \sum_{u=1}^M \sum_{v=1}^M |I_{u,j+k,v} - T_{uv}| \quad (4.1)$$

로, 그

$$\text{거리} = \sum_{u=1}^M \sum_{v=1}^M (I_{u,j+k,v} - T_{uv})^2 \quad (4.2)$$

이다.

여기에서 유사도는 가리와 반비례하는 것으로서 유사도가 가장 크기 위해 가리의 값이 적어야 한다. 위치 (j, k)에서 완전히 매칭에 되는 경우에 가리의 값은 0이 된다.

한글의 경우, 가리를 구하는데 있어서 유사성이 매우 짐하야 매칭할 때 유사성을 고려해야 한다. 한글은 초성, 횡보음, 종보음, 종성이 조합되어 만들어지는 문자이므로 각 형식에 따라 각각의 위치들이 달라지기 때문에, 같은 자소더라도 그 모양과 크기가 달라져므로 한글에 있어서 기존의 템플레이트 매칭은 한글의 유사성으로 인해 그 가리의 값이 정확하지 못하였다.

그림 15(a)의 경우 초성을 찾기 위해 “나”에 매칭하는 경우 종보음 “개”의 갈줄기가 비교 영역에 들어와 그 유사도가 떨어지며, 그림 (b)의 경우 횡보음을 찾기 위해 “ㅠ”에 매칭하는 경우 종성 “ㅇ”에 의해 가리 값이 가시 유사성이 떨어지게 된다. 그림 15는 매칭 시 바자소에 의해 그 유사도를 떨어뜨리는 예이다.

모음의 일부분이 자음의 영역에 들어가 그 가리를 구할 때 매우 가시는 경우가 많다.

$$\text{거리} = \sum_{u=1}^M \sum_{v=1}^M |I_{u,j+k,v} - T_{uv}| \quad \text{단, } T_{u,j+k,v} = 1\% \text{ 때} \quad (4.3)$$

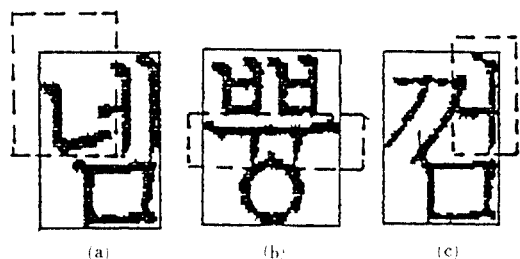


그림 15. 다른 자소로 인한 유사도 감소의 예

Fig. 15. Example of similarity reduction owe to another JASO

이러한 두 패턴 간의 차의 증가로 인한 오분류가 없어가 위하여 본 연구에서는 템플레이트의 값이 1일 때(식 4.3) 원 이미지와의 차를 구함으로서 다른 자소가 비교 영역에 침범해 있어도 그 부분에는 영향을 끼치지 않도록 하였다.

## V. 실험 및 고찰

### 5.1. 실험 시스템

실험에 사용된 문자 패턴은 삼보 레이저 펌프프린터(LBP-408)의 출력된 문자 2350자로 대상으로 하였으며 System Quality 사의 IS 300 Image Scanner로부터 240 DPI로 보낸 데이터를 NEC 9801에서 640×400의 크기로 받아 IBM AT 시스템에서 C 언어(compiler Turbo C)로 사용하여 처리하였다. 그림 16에는 본 연구에서 사용한 실험 시스템의 구조도를 보인다.

### 5.2. 실험 결과

2350자의 문자를 6형식에 의하여 분류한 결과 98.3%의 형식 분류율을 얻었으나, 형식이 분류된 것을 대상으로 95.2%의 인식율을 얻었다. 그림 7에 오분류된 대이나와 오인식된 대이나를 보인다.

### 5.3. 고찰

본 연구에서는 해설화문에서 알고 세이프

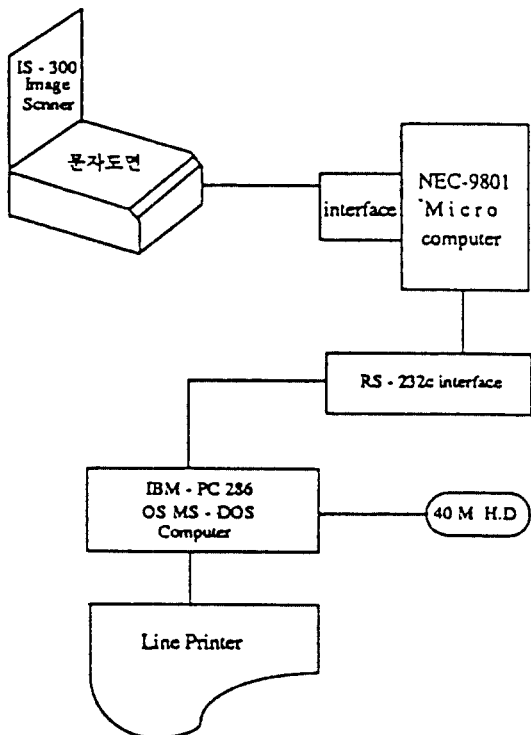


그림 16. 실험 시스템 구성도

Fig. 16. Block diagram of experiment system

표 7. 오분류된 데이터와 오인식된 데이터

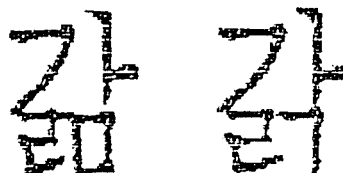
Table 7. mis-classified and mis-recognized data

식	오분류된 데이터		오인식된 데이터	
	분류율	98.3%	인식율	95.2%
1	리, 커		더, 나,	
2	감, 냄, 씹		썩, 말, 쟁, 둘	
3	요, 보			
4		을, 을, 츠		
5	와		와	
6	盍, 침		한, 침, 跛, 힘	

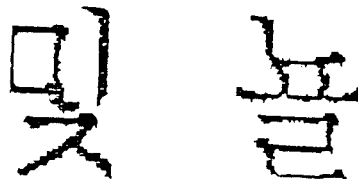
그 자체를 가지고 처리를 합으로써, 세심화시에 필요한 시간을 절약하였으며, type 분류시에 오분류는 입력시에 왜곡된 문자경우, shape 패턴의 사용으로 잡음이 과도하게 들어갔거나 모음부분이 많이 손상된 경우에 오분류가 일어났다.

또한 초성 자음이 물리의 x축 가장 왼쪽에 붙으며, 그 자음 바로 옆에 종성이 붙은 경우 진보로 인식하여 오분류가 발생하였으며 (盍, 겹), 초성 “ㅍ”的 경우 기존의 방법들에서는 횡모음의 짧은 보로 추출되어 오분류가 발생하였으나 본 연구에서는 4.2 절에서 제안한 방법에 의해 좋은 효율을 얻을 수 있다. 이승형<sup>(3)</sup>은 한글 형식분류율이 86.2%였으나 본 연구에서는 98.3%를 보았다. 인식시에는 패턴의 일부가 잘라져 입력된 경우 또는 문자의 부분이 짐하게 왜곡된 경우에 오인식되었으며 95.2%의 인식 결과가 나왔으나 패턴이 잘라져 입력된 데이터를 제외하면 약 4% 이상 향상할 수 있다.

사전을 구성함에 있어서 사전(dictionary)에 우선 순위를 부여함으로서 가리의 값이 같아 (식 4.3)에 의해 초성 “드”가 일치하는 것은 “느”과 “드”이지만 우선 순위(표 6)에 의해 “느”이 인식된다.



(a) 오분류된 데이터



(b) 오인식된 데이터

그림 17. 오분류와 오인식의 실제 데이터

Fig. 17. Original data of mis classified and mis reginized data

## VI. 결론

본 연구에서는 문서 인식과 한글 인식을 위하

여 한글의 형식(type) 분류와 한글 인식에 관한 연구를 하였다.

한글이 모음을 중심으로 이루어진 조합 문자라는 한글의 고유 특성을 고려한 구조적 방법을 사용한 본 연구에서는, 기존의 방법들이 사용한 세선화를 하지 않고 마스크에 의해 모음을 설정함으로서 막대한 시간을 줄일 수 있었으며, 형식 분류에 있어서도 좋은 결과(형식 분류율 98.3%)가 나왔다. 그러나, 인식 단계에 있어서는 템플레이트 매칭 방법의 한계성과 인식 대상의 자소가 많아 그리 빠르지 못하였다.

기존의 세선화를 사용한 인식 방법은 세선화의 효율성에 따라 인식율이 좌우하는 세선화에 대한 종속적 비용이 들었으나, 본 연구에서는 그리한 비용을 완전히 줄일 수 있었다.

앞으로의 한글 인식은 효율과 성능면에서, 자소를 추출하고 추출된 자소를 인식 하여, 인식의 대상을 줄임으로서 좀 더 빠르고 높은 인식율을 가져올 수 있다.

또한 실시간 인식(real-time recognition)을 위해서 분류된 자소에 대해 템플레이트의 비교 방법이 개선되어야겠으며, 좀 더 다양한 시제와 원도에서 이러한 연구가 더 확장되어야겠다.

## 參 考 文 獻

1. J.K. Lee, "Korean Character Display by Variable Combination and its Recognition by Decomposition Methods", Ph. D. dissertation in Keio University, Japan, 1972.
2. 남궁재선, "Index Window 알고리즘에 의한 한글 Pattern의 부분 패턴과 인식에 관한 연구", 연세대학교 박사학위논문, 1982.
3. 김태균, "구조 해석에 의한 한글 인식", 한국 정보과학회 임상자료 연구회 영상 처리 및 이해에 관한 워크샵 발표 논문집, pp. 110~116, 1989.
4. 손영우, "속설에 의한 한글 패턴의 온라인 인식에 관한 연구", 경운대학교 석사학위논문, 1982.
5. 조상배, 김진형, "한글 문자 인식을 위한 신경망 기법의 개선에 관한 연구", 제2회 영상 처리 및 이해에 관한 워크샵 발표 논문집, pp. 56~62, 1990.
6. 장희동, "한글 문자 해석의 실시간 인식에 관한 연구", 경운대학교 석사학위논문, 1986.
7. 이승현, "문서 인식을 위한 한글과 한자의 구별과 한글의 형식분류에 관한 연구", 경운대학교 석사학위논문, 1990.
8. 김진형, "한글의 단자 표현", 미진사, 1989.
9. 오인경, "임동이 훈민한 한글 문서에서의 문자 및 두수 문자 구조에 관한 연구", 서울대학교 대학원 석사학위논문, 1988.
10. YAMASHITA, HIGUCHI 등, "Classification of handprinted Katakana characters by the structured segment matching method", Pattern Recognition Letters Vol. 1, No. 5, 6, 1983.
11. 이주근, 박종국, "Shape Pattern에 의한 한글의 한글 인식", 대한 전자 공학회지, 제22권 5호, pp. 1~9, 1985.
12. H. Niemann, "Pattern Analysis", Springer Series in Information Sciences, Springer Series, pp. 98~100.
13. 이주근, 박종국, 김암경, "한글 pattern에서 subpattern 패턴과 인식에 관한 연구", 대한 전자 공학회지, Vol. 18, No. 3, 1983.
14. 長谷川純一, 岸水大和, 中山晶, 模井茂樹 共著, "書像處理의 기본技法", 加藤 文明社, 1986.



田鍾益(Jong Ik CHEON) 正會員  
1963년 4월 1일생  
1989년 2월 : 원광대학교 전자계산공학과  
졸업(공학사)  
1991년 2월 : 광운대학교 대학원 전산기  
공학과 졸업(공학석사)  
1991년 현재 : (주)한국통신 연구개발단  
근무중  
관심분야 : 패턴인식



趙鎔周(Yong Joo CHO) 正會員  
1964년 3월 15일생  
1986년 2월 : 원광대학교 전자계산공학과  
졸업(공학사)  
1988년 8월 : 광운대학교 전산기공학과  
졸업(공학석사)  
1991년 현재 : 광운대학교 대학원 전산기  
공학과 박사과정 재학중.

관심분야 : 패턴인식, 컴퓨터 비전.



南宮在贊(Jae Chan NAMKUNG) 正會員  
1947년 6월 13일생  
1970년 : 연하대학교 전기공학과 졸업  
(공학사)  
1976년 8월 : 연하대학교 대학원 전자공  
학과 졸업(공학석사)  
1982년 2월 : 연하대학교 대학원 전자공  
학과 졸업(공학박사)  
1982년 ~ 1984년 : 일본 Tohoku 대학  
교원교수  
1979년 ~ 현 재 : 광운대학교 전자계산기공학과 교수

관심분야 : 패턴인식, 컴퓨터 비전, 인공지능